

## **NOWCASTING SOLARE 5 SETTEMBRE 2015**

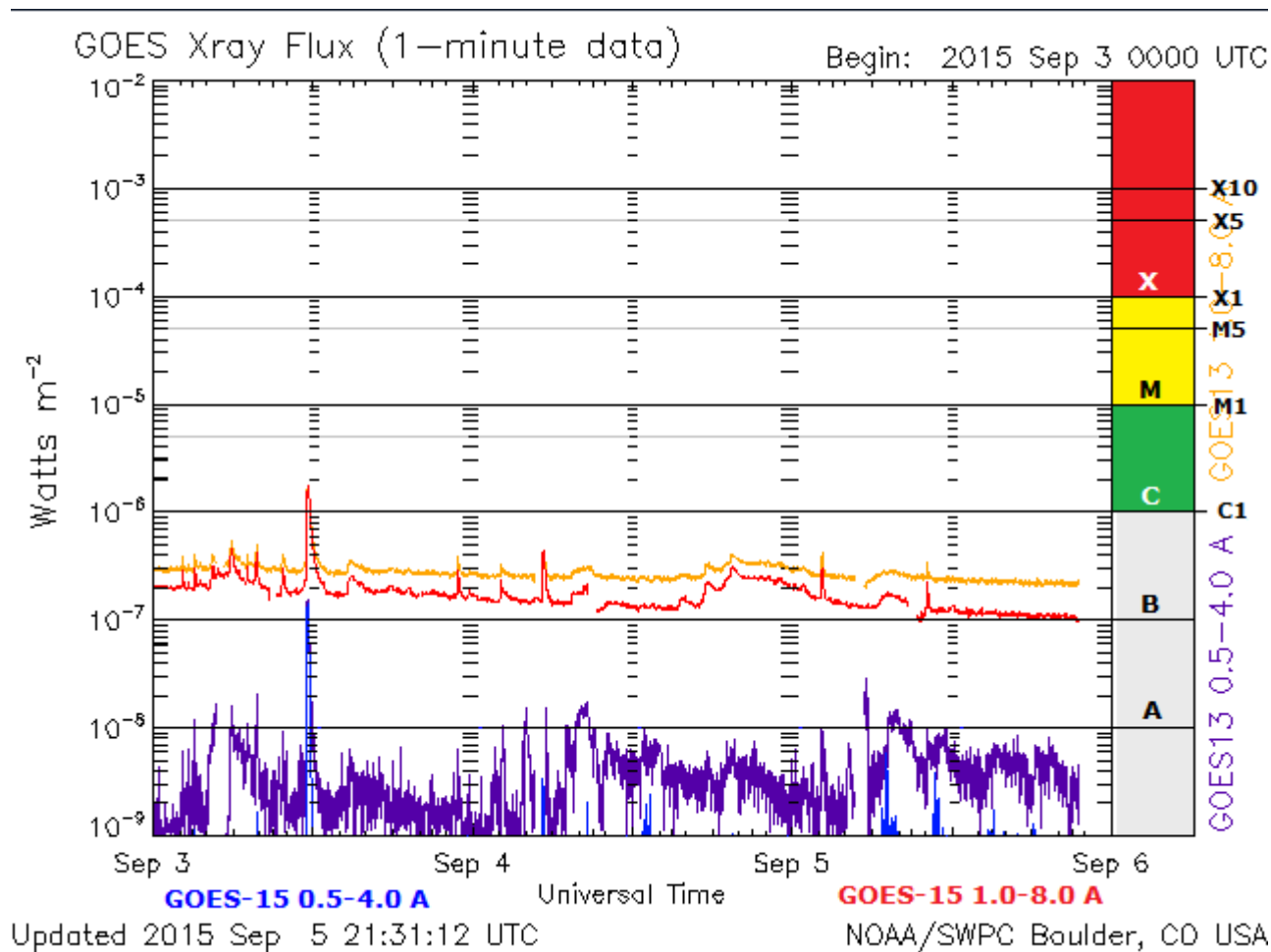
Nowcasting solare, sommario delle ultime 24 ore: L'attività solare nella giornata di oggi 5 Settembre è rimasta a livelli molto bassi.

La Regione 2411 (N13E50, HSX/alfa) non ha avuto cambiamenti significativi nel corso delle ultime 24 ore. Non sono stati prodotti flare di classe C-M-X.

Nessuna espulsione di massa coronale ([CME](#)) è stata osservata in direzione della Terra, dal [LASCO](#) coronagraph imagery.

Previsioni prossime 72 ore: L'attività solare dovrebbe rimanere molto bassa con piccole possibilità di eventi di classe C nei prossimi tre giorni

(06-08 settembre).

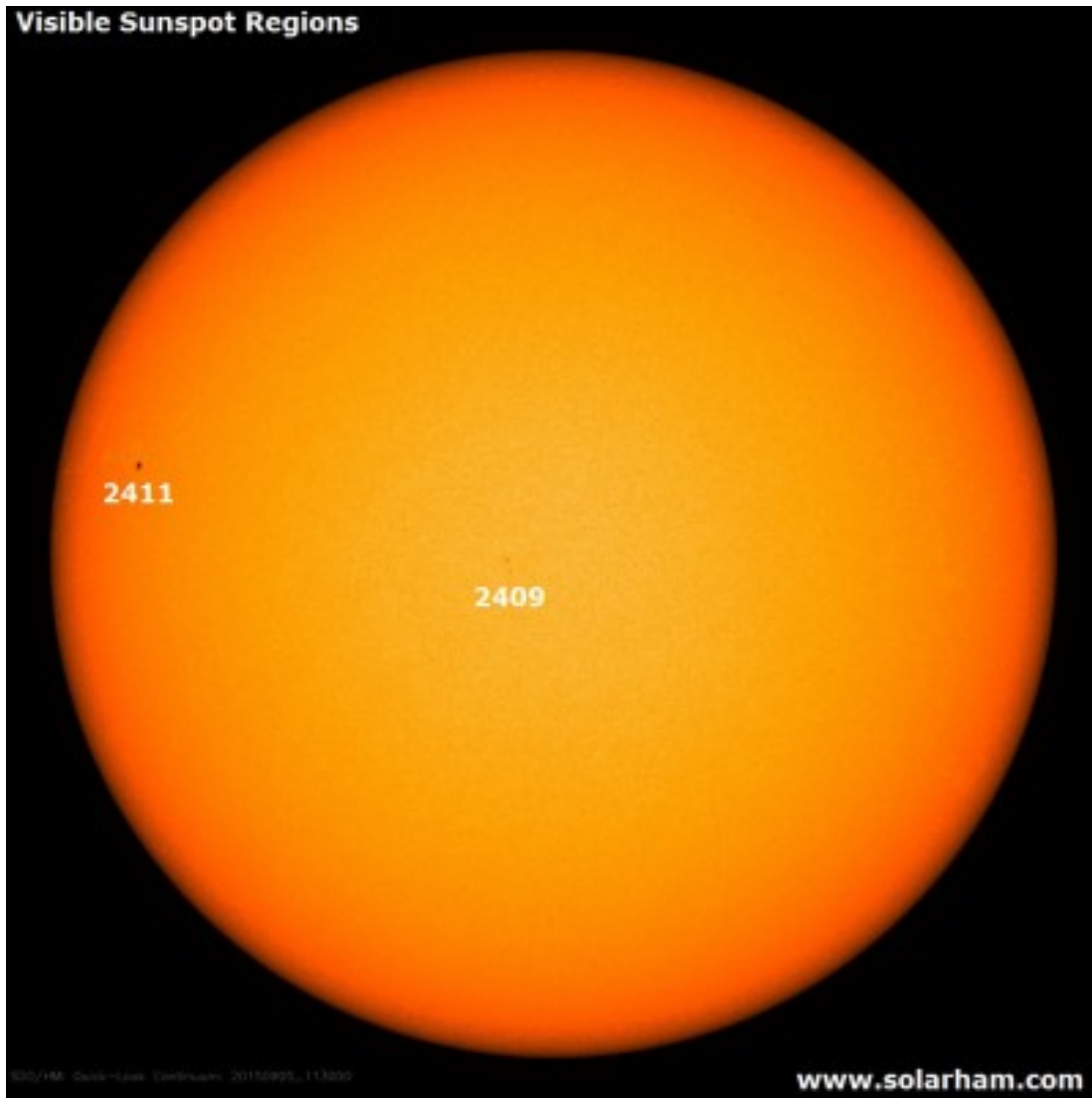


*Grafico dei Raggi X degli ultimi tre giorni*

Ne consegue che:

Alle ore 18.00 UTC, il disco solare visibile presentava due regioni attive (in risoluzione 2K da immagini SDO/HMI Continuum):

Num count	Lat., class	CMD	Long.	Area	Extent	class
2409	N06E11 19	30	4	CR0 2	B	
2411	N14E64 326	10	2	HSX 1	A	



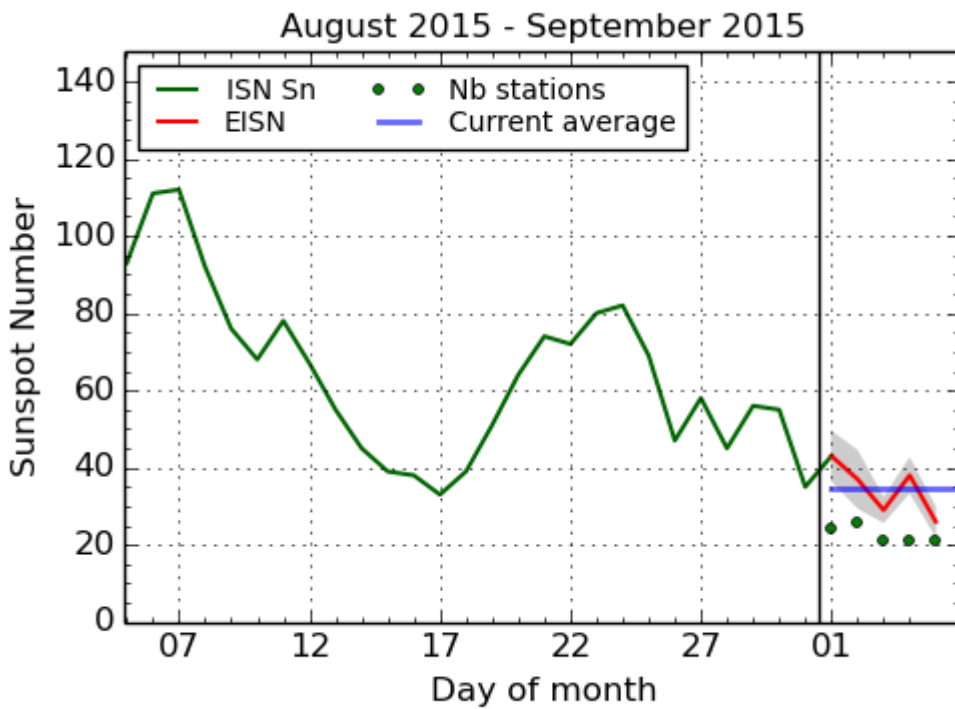
Il campo geomagnetico solare nel corso delle ultime 24 ore è risultato in stato "UNSETTLED" mentre i Raggi X in stato "NORMAL"

La velocità del flusso solare (2,8 GHz) alle ore 20,00 del 5 Settembre è risultata a 85.4

La media mensile del flusso solare ad oggi risulta di 87.8

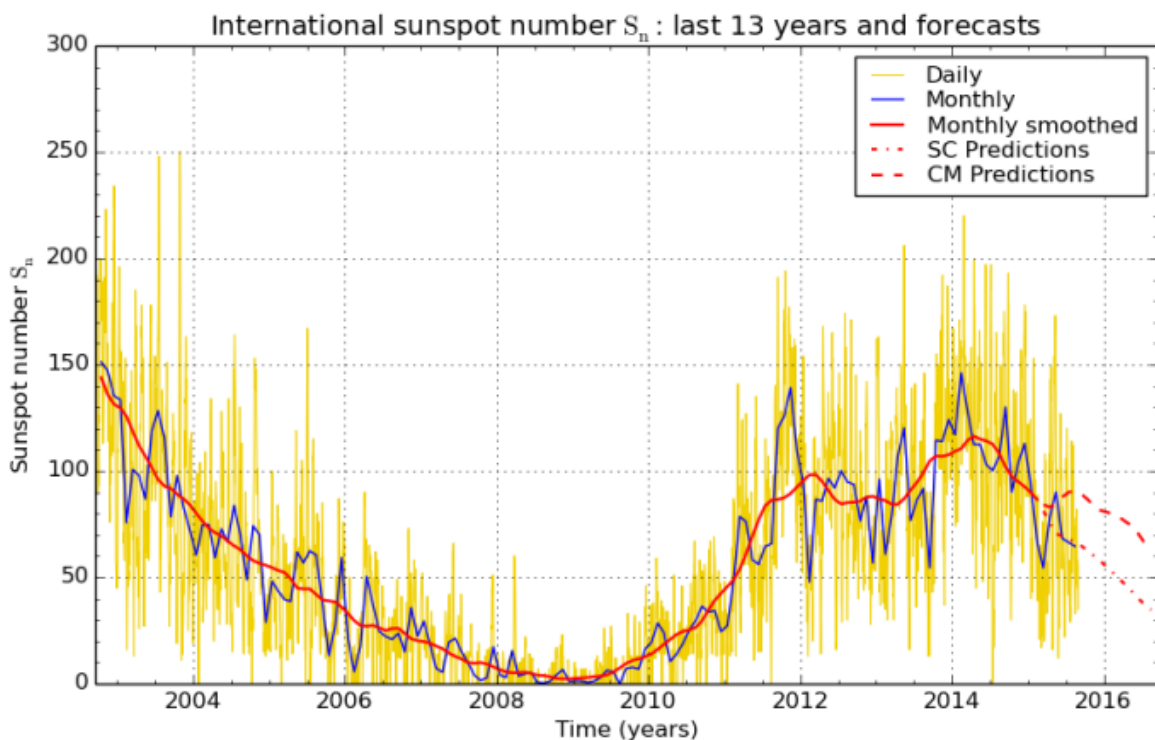
Il conteggio delle macchie solari (conteggio SILSO) del 5 Settembre è risultato di 26 macchie.

La media mensile delle macchie solari ad oggi risulta di 34.6



SILSO graphics (<http://sidc.be/silso>) Royal Observatory of Belgium, 2015 September 5

L'andamento delle macchie solari nell'ultimo mese. Grafico del centro di conteggio SILSO



SILSO graphics (<http://sidc.be/silso>) Royal Observatory of Belgium 2015 September 1

L'andamento dell'[attività solare](#) negli ultimi 13 anni e forecast. Grafico del centro di conteggio SILSO

La media mensile dell'indice Ap è risultata nella giornata di ieri di 9.0

La velocità del vento solare attuale è di 480.4 km/s

La densità del vento solare attuale è di 4.3 protons/cm<sup>3</sup>

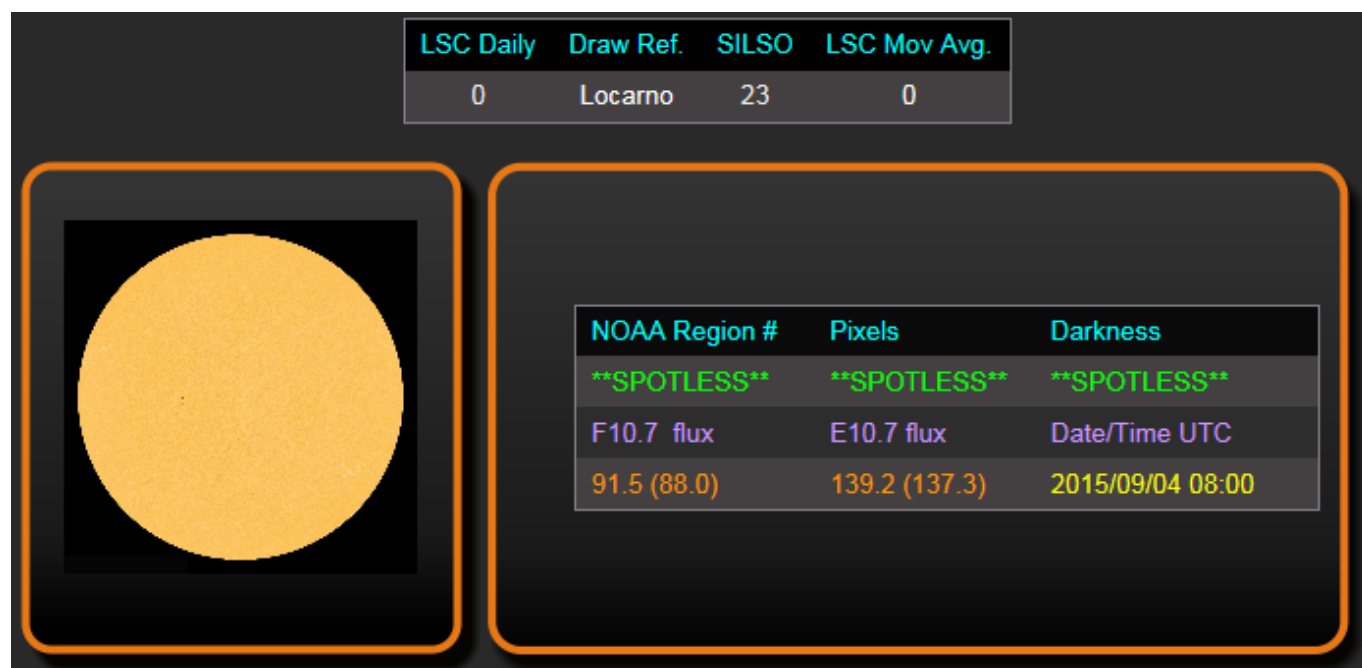
L'indice A attuale è di 14 (calmo)

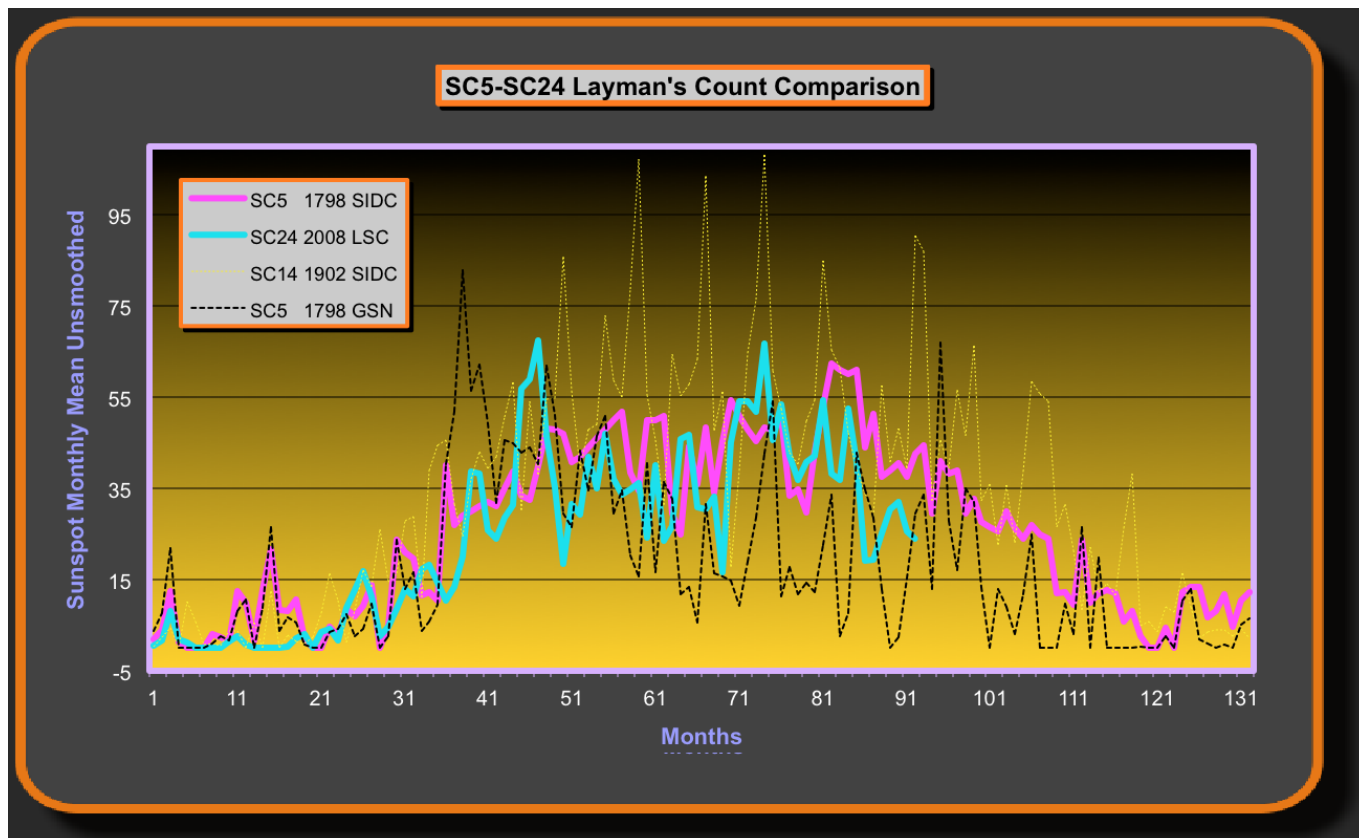
L'indice K attuale è di 4 (unsettled)

Il flusso dei raggi X attuale risulta di classe B 1.0

La componente [BZ](#) attuale è di 3.8 nT

Il conteggio delle macchie solari con il metodo Layman's sunspot count (gestito da Geoff Sharp), nella giornata del 4 Settembre alle ore 08:00 (ultimo aggiornamento disponibile) è risultato per il sesto giorno consecutivo **\*\*SPOTLESS\*\*** che porta la media mensile a 0 macchie (SSN).





*Confronto tra i due cicli, il ciclo 5 (minimo di Dalton colore fucsia) e il ciclo 24 (ciclo attuale colore azzurro) per il metodo di conteggio del Layman's*

### **Aggiornamento del Campo Magnetico Polare del 31 Agosto 2015**

Come nostra consuetudine diamo uno sguardo all'ultimo aggiornamento del campo magnetico solare, sui dati raccolti dal prestigioso Osservatorio di Wilcox Solar Observatory (WSO) dell'Università di Stanford.

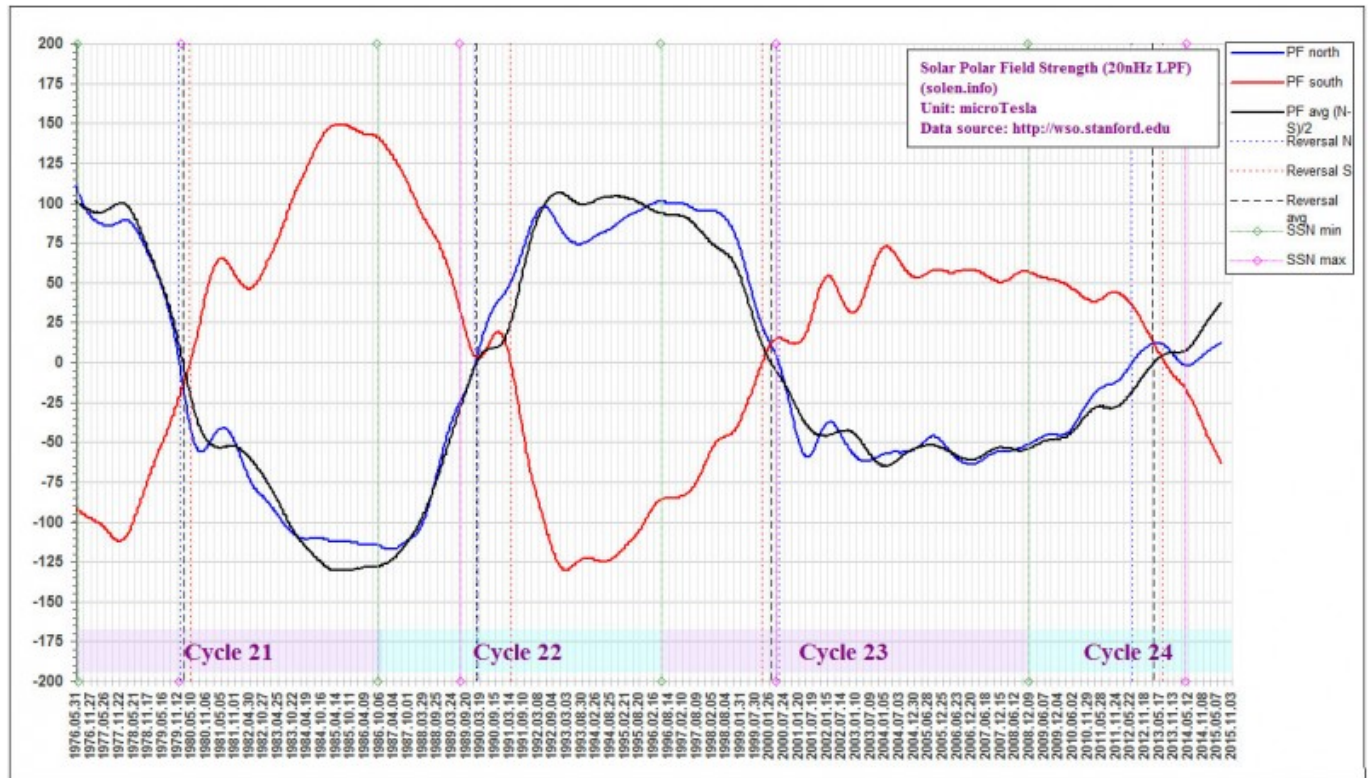
Il dato aggiornato al 31 Agosto 2015 e che fa riferimento al 15 Agosto 2015, mette ancora una volta in evidenza come l'emisfero nord abbia ormai intrapreso un'andatura molto rallentata. Quindi l'emisfero nord rimane ancora fermo a 13Nf. La novità di questo aggiornamento è che anche l'emisfero sud ha subito un rallentamento ed è rimasto fermo all'ultimo aggiornamento, quindi a -69Sf.

La conseguenza è che anche il dato mediato rimane fermo, attestandosi a 41Avgf.

2014:11:18_21h:07m:13s	6N	-44S	25Avg	20nhz	filt:	5Nf	-41Sf	23Avgf
2014:11:28_21h:07m:13s	6N	-44S	25Avg	20nhz	filt:	5Nf	-42Sf	24Avgf
2014:12:08_21h:07m:13s	0N	-44S	22Avg	20nhz	filt:	6Nf	-43Sf	25Avgf
2014:12:18_21h:07m:13s	-6N	-40S	17Avg	20nhz	filt:	6Nf	-45Sf	25Avgf
2014:12:28_21h:07m:13s	-4N	-43S	19Avg	20nhz	filt:	7Nf	-46Sf	26Avgf
2015:01:07_21h:07m:13s	3N	-42S	22Avg	20nhz	filt:	7Nf	-47Sf	27Avgf
2015:01:17_21h:07m:13s	9N	-45S	27Avg	20nhz	filt:	8Nf	-48Sf	28Avgf
2015:01:27_21h:07m:13s	18N	-41S	29Avg	20nhz	filt:	8Nf	-50Sf	29Avgf
2015:02:06_21h:07m:13s	10N	-45S	27Avg	20nhz	filt:	8Nf	-51Sf	30Avgf
2015:02:16_21h:07m:13s	8N	-48S	28Avg	20nhz	filt:	9Nf	-52Sf	30Avgf
2015:02:26_21h:07m:13s	8N	-51S	29Avg	20nhz	filt:	9Nf	-53Sf	31Avgf
2015:03:08_21h:07m:13s	17N	-50S	33Avg	20nhz	filt:	9Nf	-54Sf	32Avgf
2015:03:18_21h:07m:13s	27N	-49S	38Avg	20nhz	filt:	10Nf	-55Sf	33Avgf
2015:03:28_21h:07m:13s	24N	-52S	38Avg	20nhz	filt:	10Nf	-56Sf	33Avgf
2015:04:07_21h:07m:13s	15N	-56S	36Avg	20nhz	filt:	10Nf	-57Sf	34Avgf
2015:04:17_21h:07m:13s	11N	-59S	35Avg	20nhz	filt:	11Nf	-58Sf	35Avgf
2015:04:27_21h:07m:13s	13N	-61S	37Avg	20nhz	filt:	11Nf	-59Sf	35Avgf
2015:05:07_21h:07m:13s	16N	-64S	40Avg	20nhz	filt:	11Nf	-60Sf	36Avgf
2015:05:17_21h:07m:13s	15N	-66S	41Avg	20nhz	filt:	12Nf	-61Sf	36Avgf
2015:05:27_21h:07m:13s	12N	-80S	46Avg	20nhz	filt:	12Nf	-62Sf	37Avgf
2015:06:06_21h:07m:13s	6N	-76S	41Avg	20nhz	filt:	12Nf	-63Sf	37Avgf
2015:06:16_21h:07m:13s	5N	-75S	40Avg	20nhz	filt:	12Nf	-64Sf	38Avgf
2015:06:26_21h:07m:13s	5N	-74S	40Avg	20nhz	filt:	12Nf	-65Sf	39Avgf
2015:07:06_21h:07m:13s	10N	-74S	42Avg	20nhz	filt:	13Nf	-66Sf	39Avgf
2015:07:16_21h:07m:13s	13N	-74S	43Avg	20nhz	filt:	13Nf	-66Sf	40Avgf
2015:07:26_21h:07m:13s	13N	-69S	41Avg	20nhz	filt:	13Nf	-67Sf	40Avgf
2015:08:05_21h:07m:13s	12N	-66S	39Avg	20nhz	filt:	13Nf	-68Sf	41Avgf
2015:08:15_21h:07m:13s	14N	-63S	38Avg	20nhz	filt:	13Nf	-69Sf	41Avgf

I dati grezzi e mediati del campo polare del sole

<http://wso.stanford.edu/Polar.html#latest>



L'andamento degli ultimi 4 cicli solari del campo polare solare

<http://www.solen.info/solar/polarfields/polar.html>

Enzo

[Attività Solare](#)